

FIG. 1

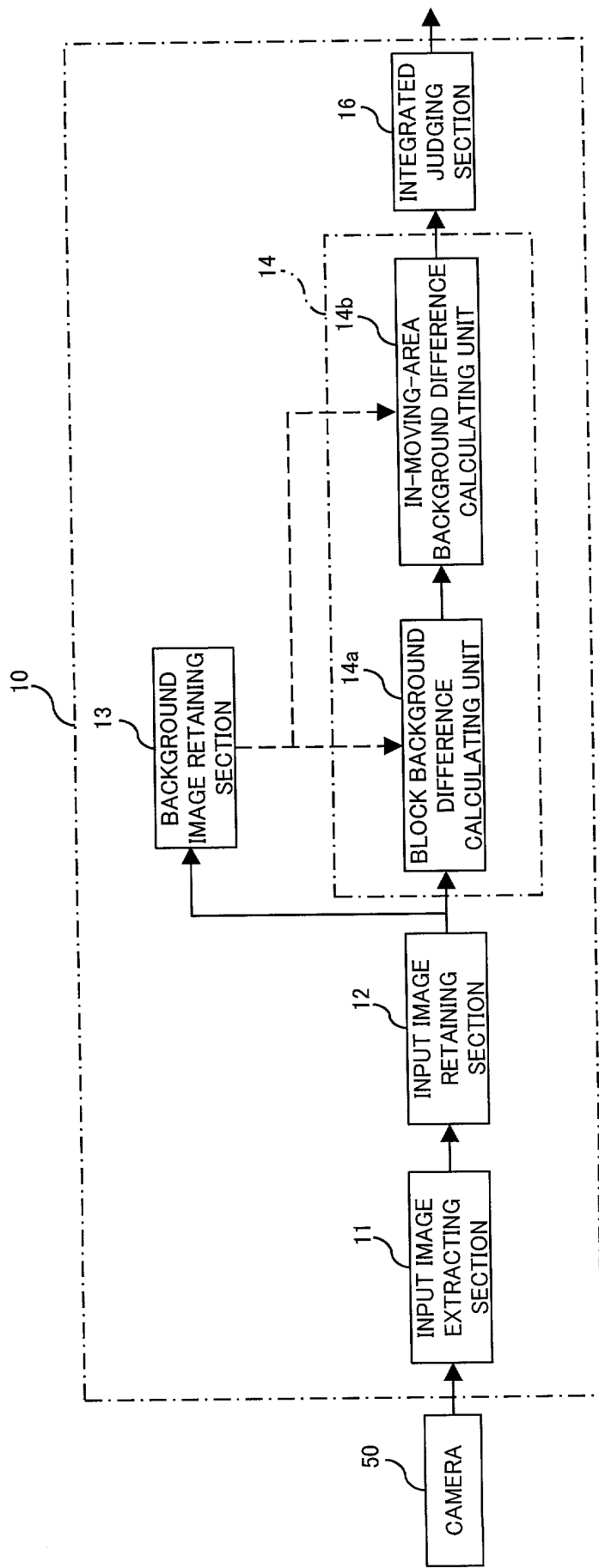


FIG. 2

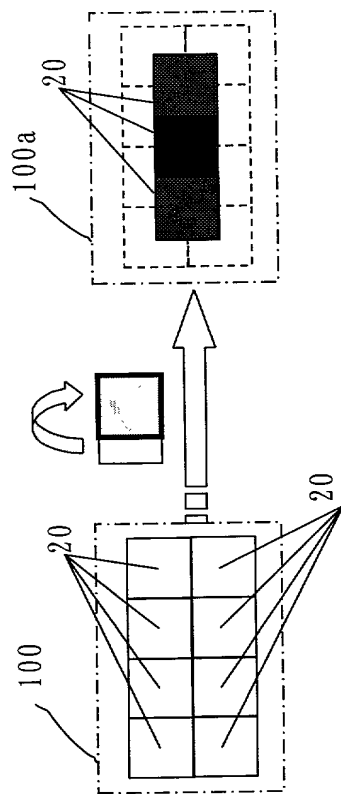


FIG. 3

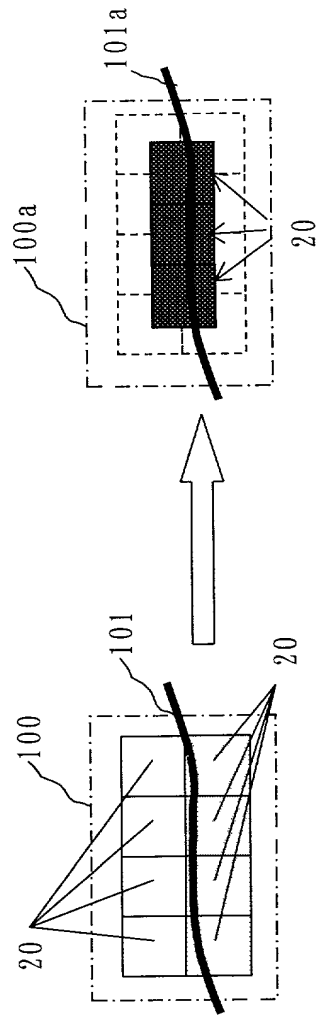


FIG. 4 (a) FIG. 4 (b)

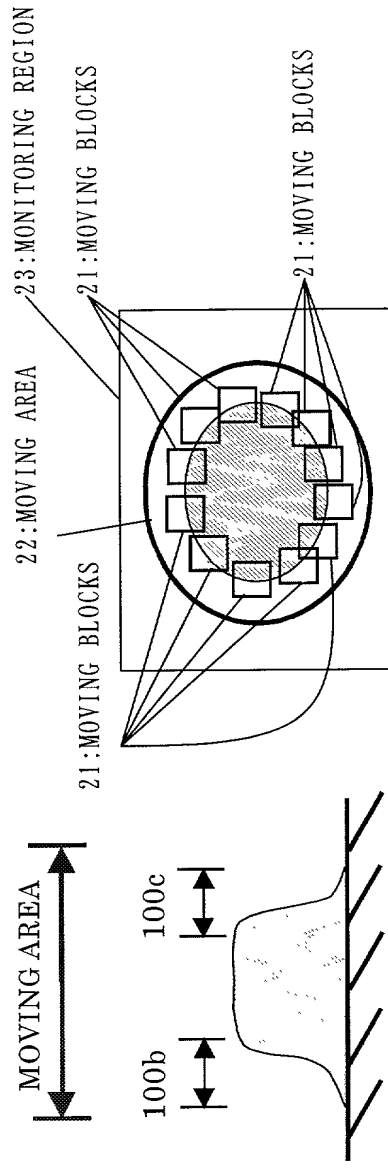


FIG. 5(a)

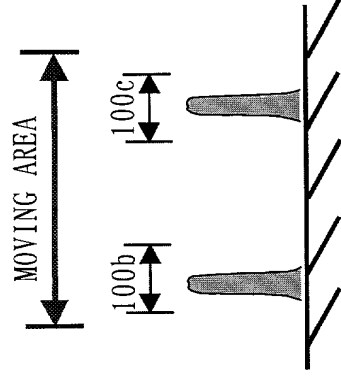


FIG. 5(b)

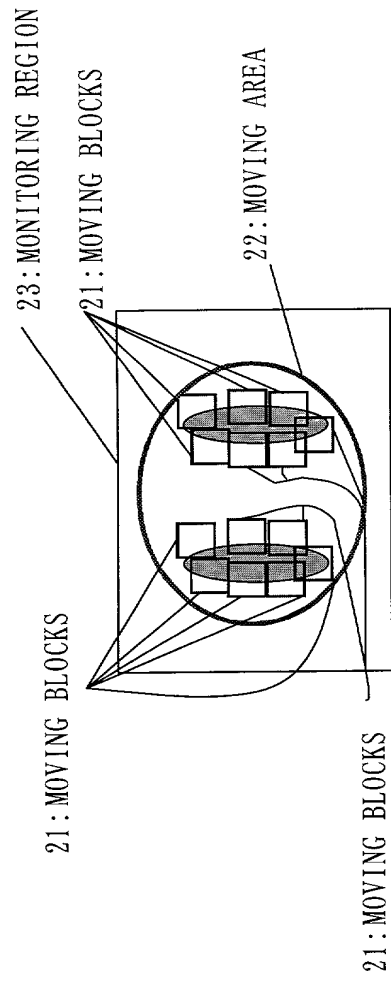


FIG. 6 (a) FIG. 6 (b)

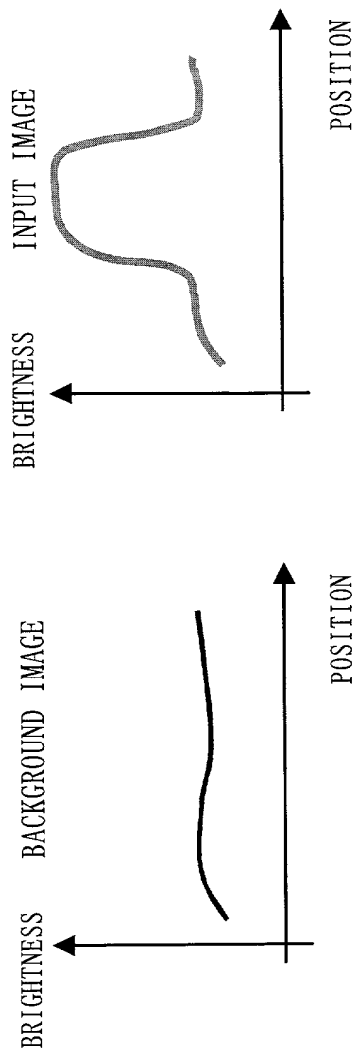


FIG. 7(a)

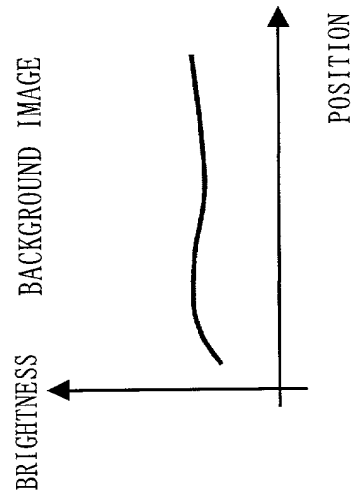


FIG. 7 (b)

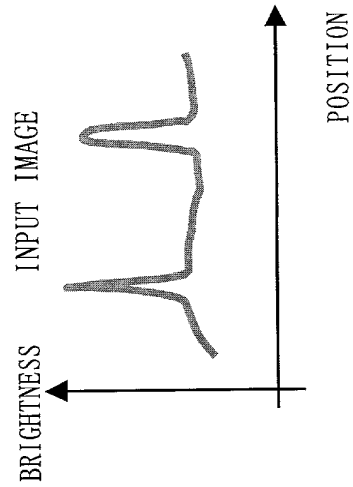


FIG. 8(a) FIG. 8(b)

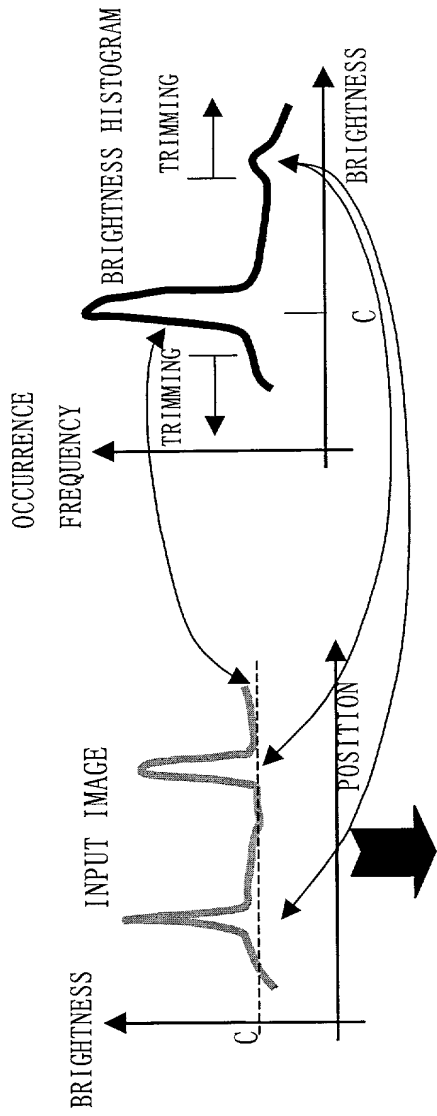


FIG. 8 (c)

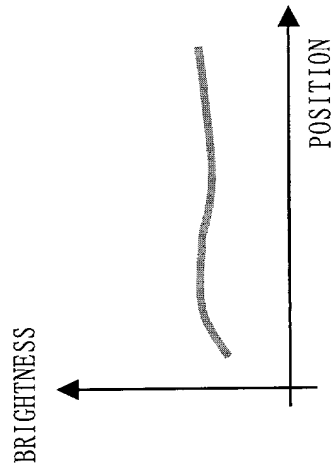


FIG. 9

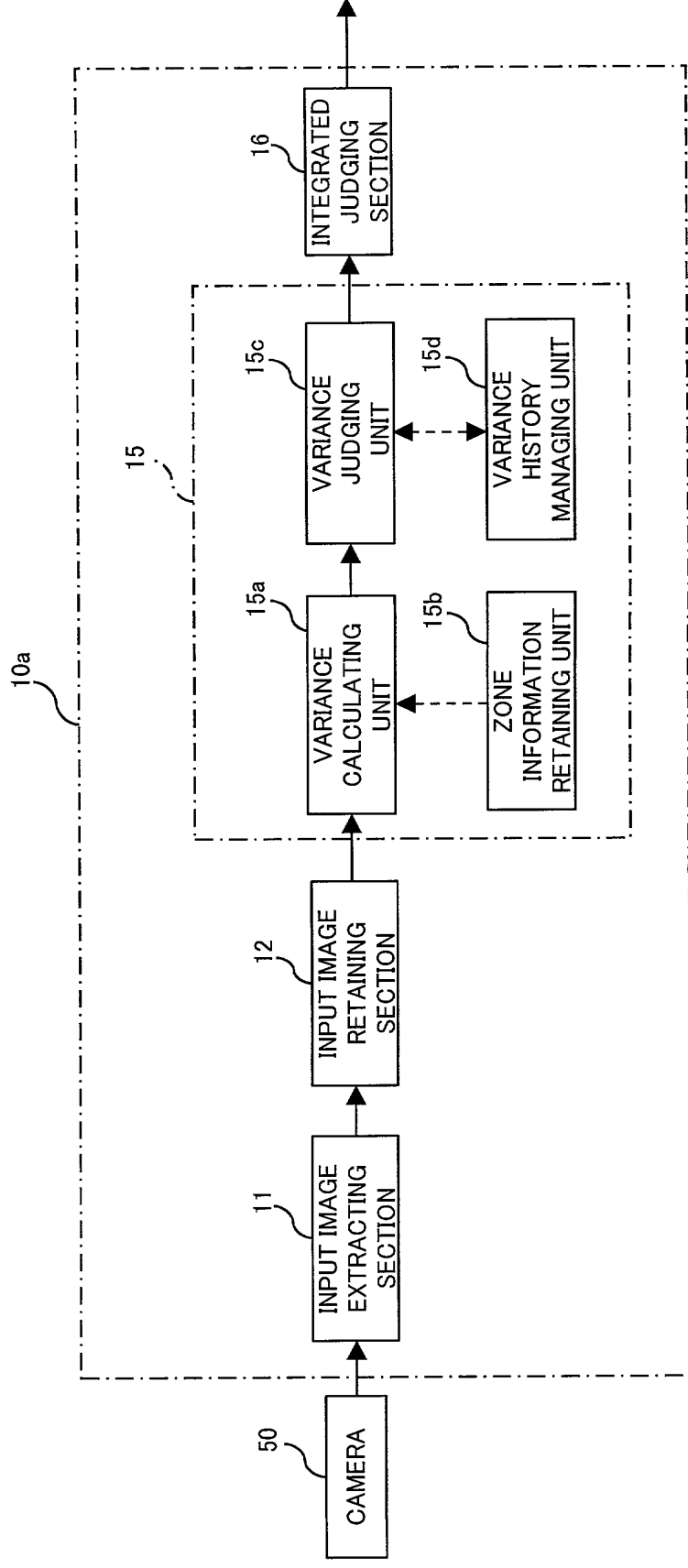


FIG. 10

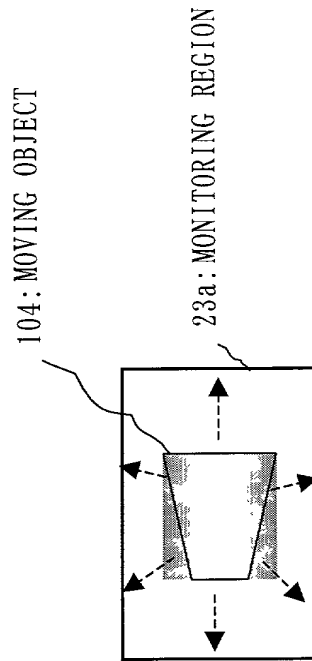


FIG. 11 (a) FIG. 11 (b) FIG. 11 (c)

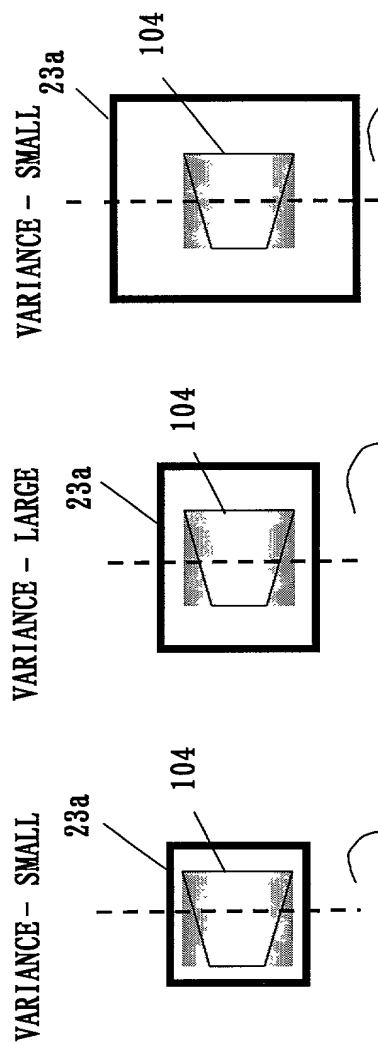


FIG. 11 (d) FIG. 11 (e) FIG. 11 (f)

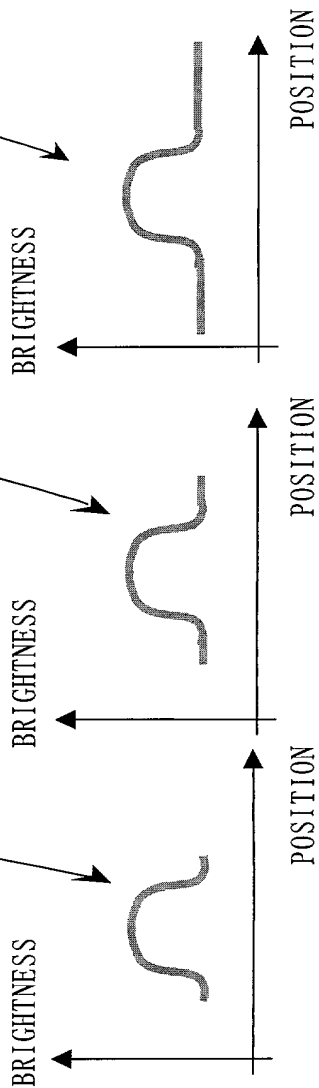


FIG. 12 (a)



FIG. 12 (b)

FIG. 12 (c)

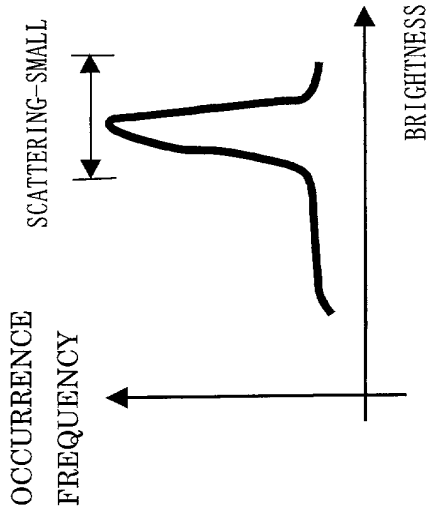


FIG. 12 (d)

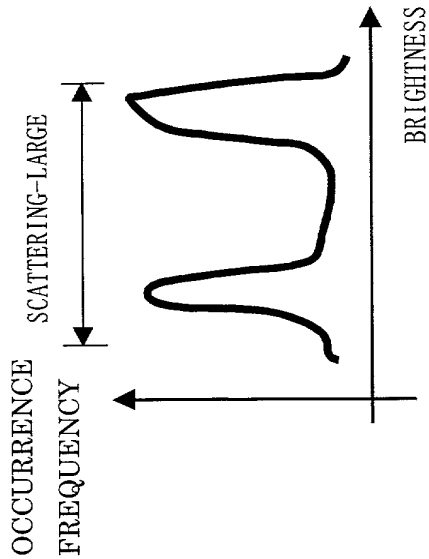


FIG. 13 (a) FIG. 13 (b)

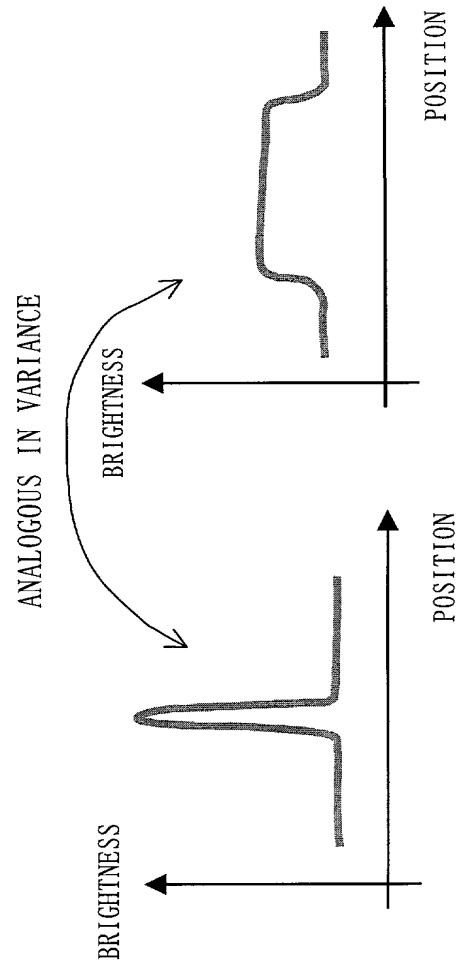


FIG. 14 (a)

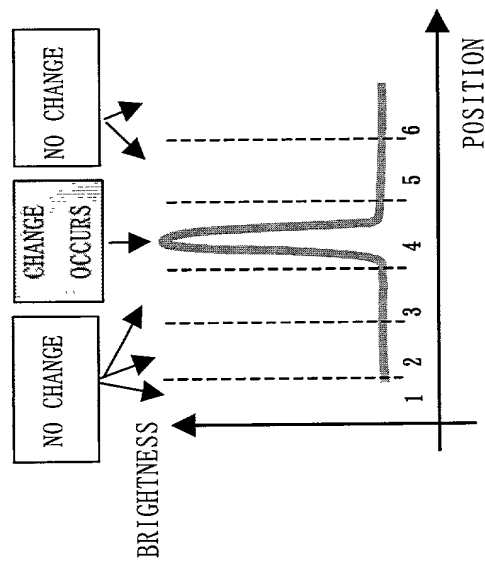


FIG. 14 (b)

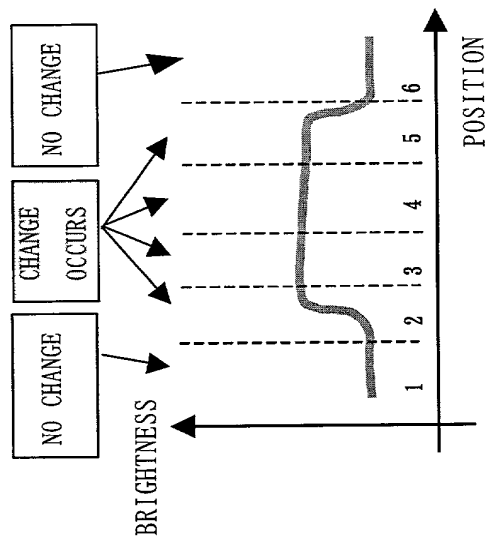


FIG. 15

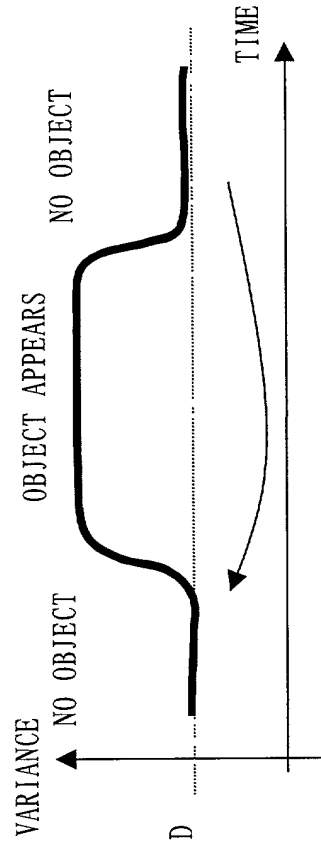


FIG. 16

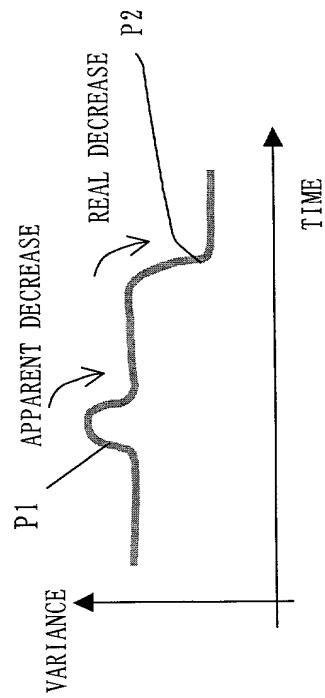
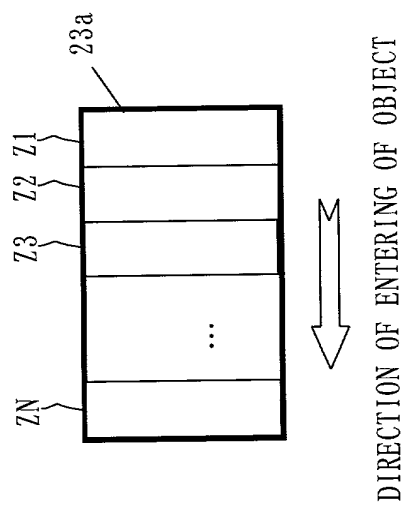


FIG. 17



F I G. 18

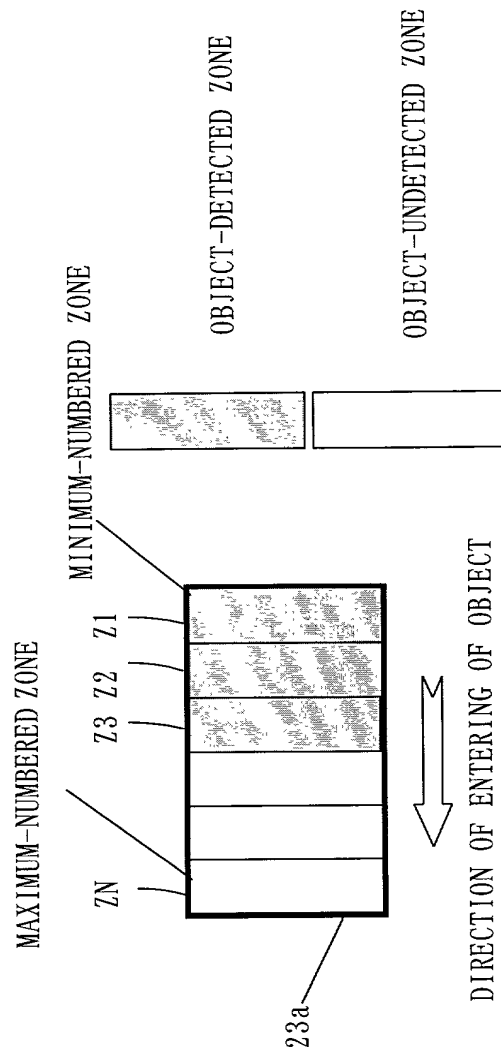


FIG. 19

DETECTING OF ENTERING

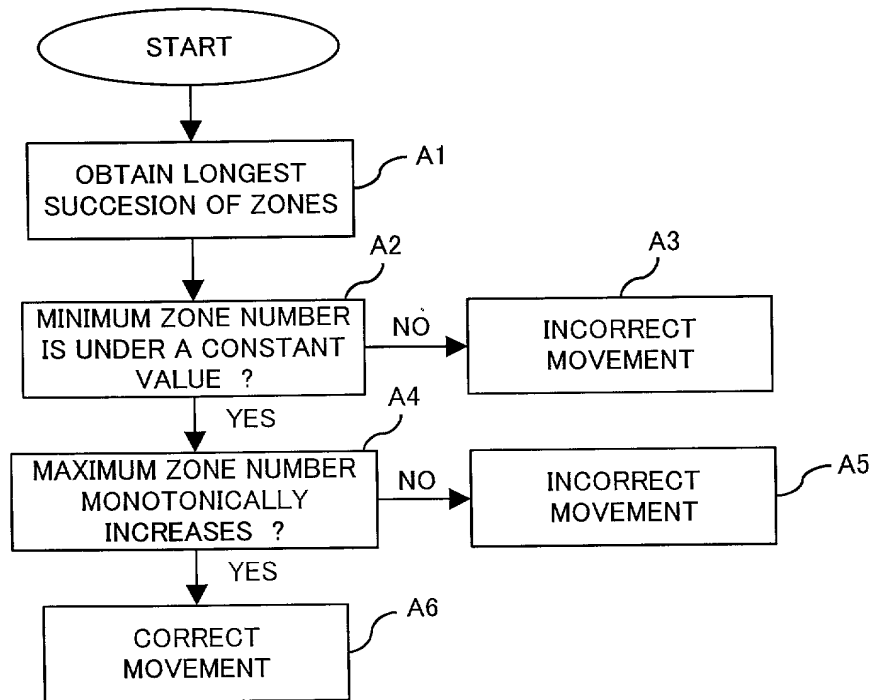


FIG. 20

DETECTING OF LEAVING

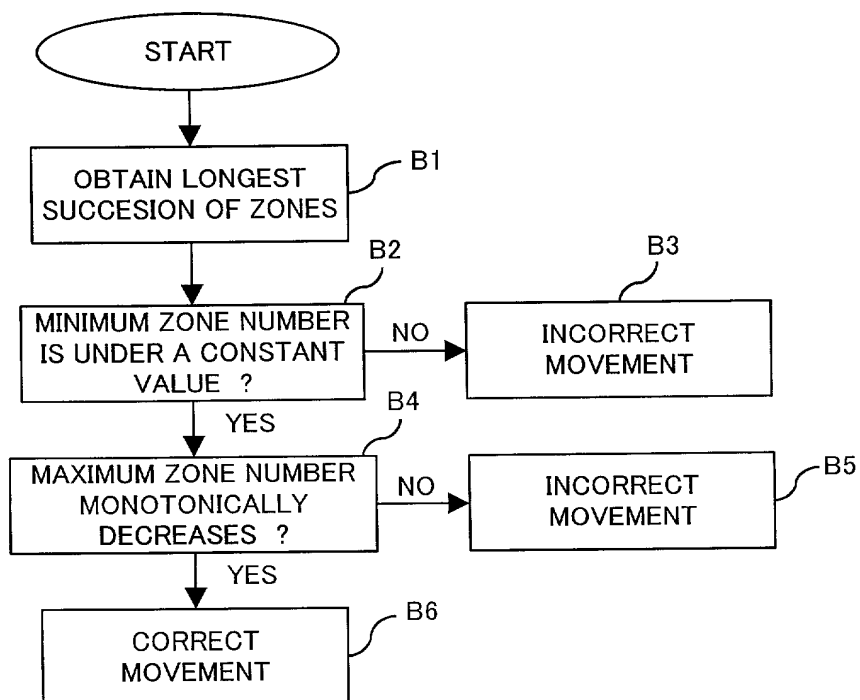


FIG. 21

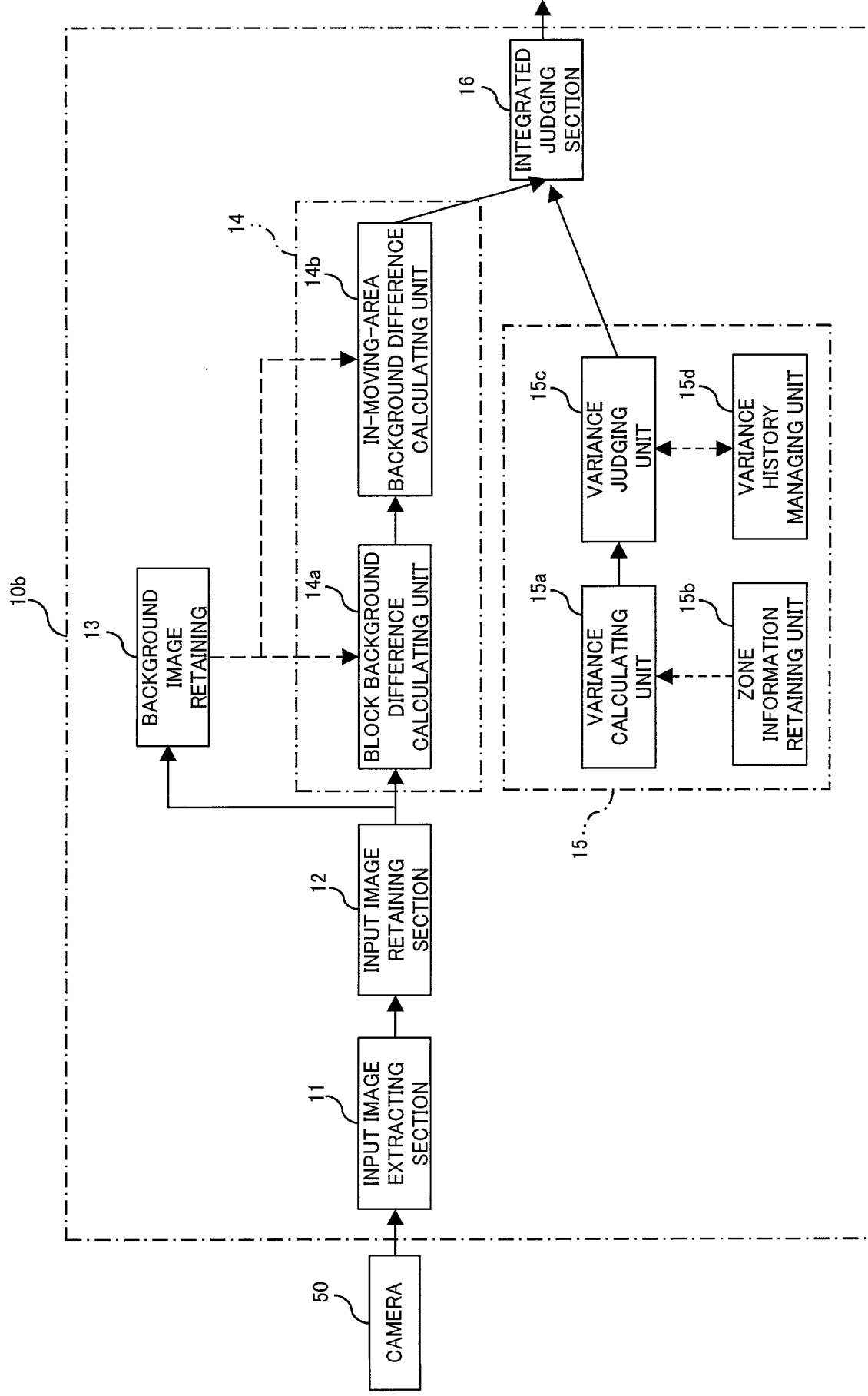


FIG. 22

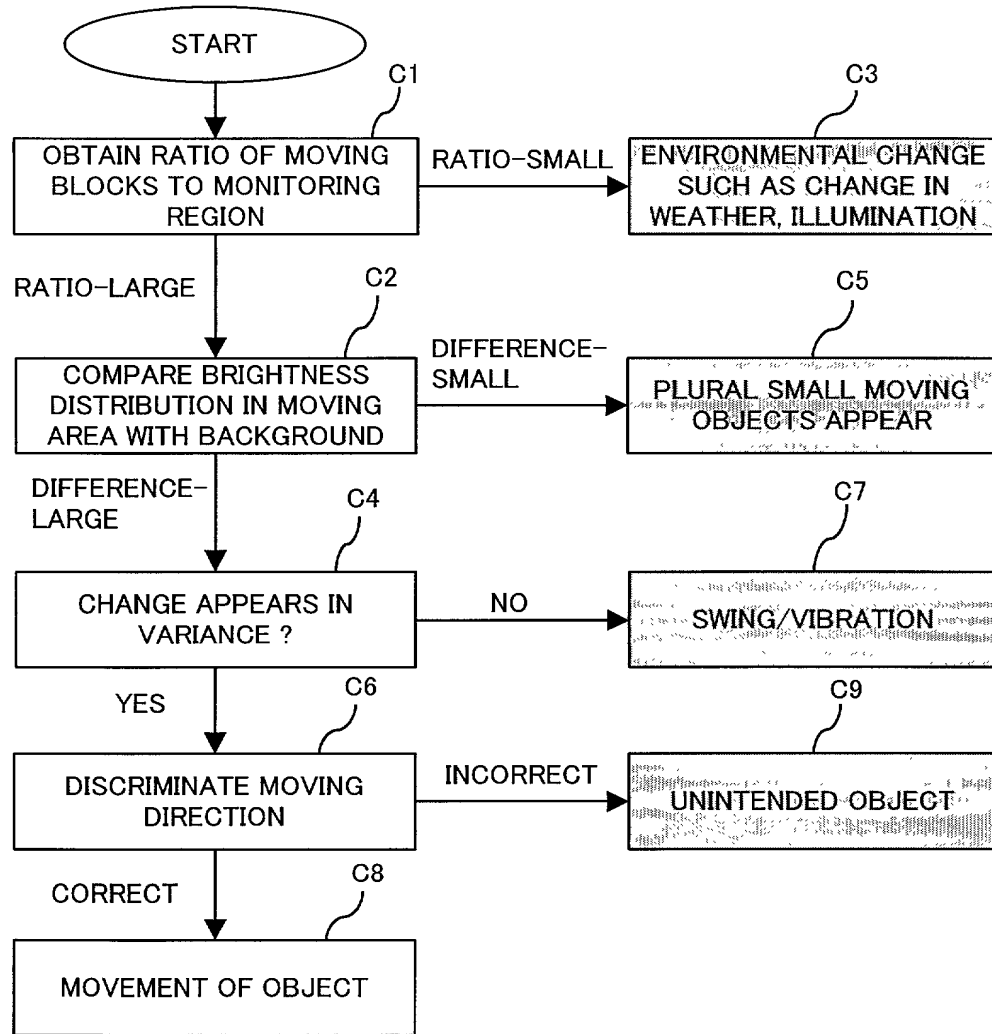


FIG. 23

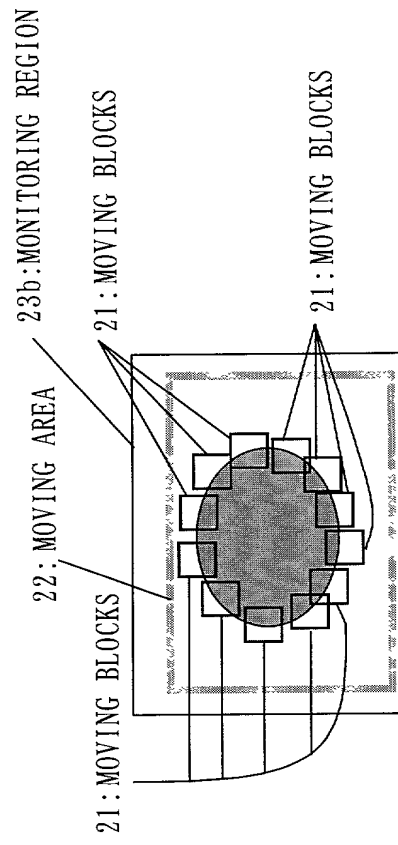
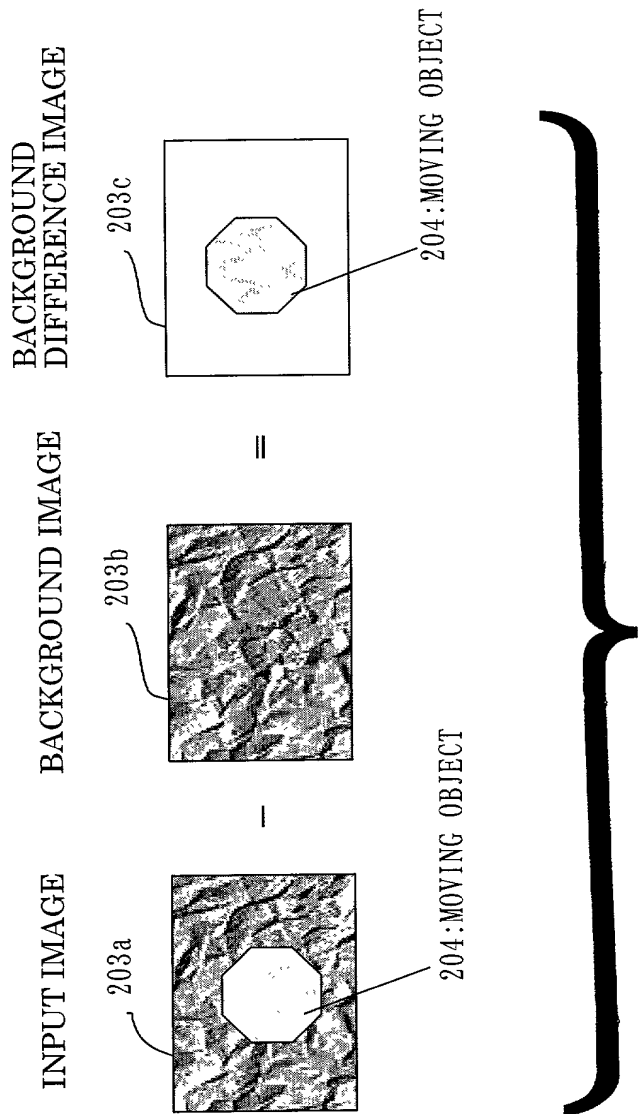
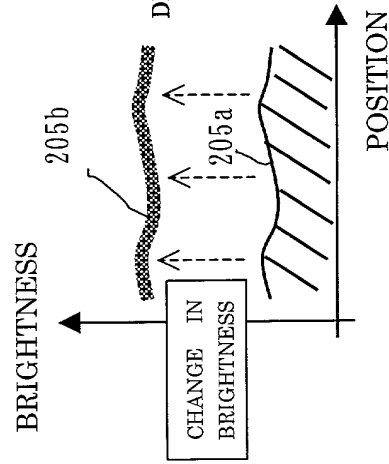


FIG. 24



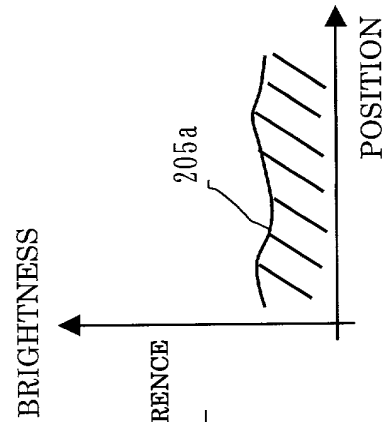
F I G. 25(a)

INPUT IMAGE



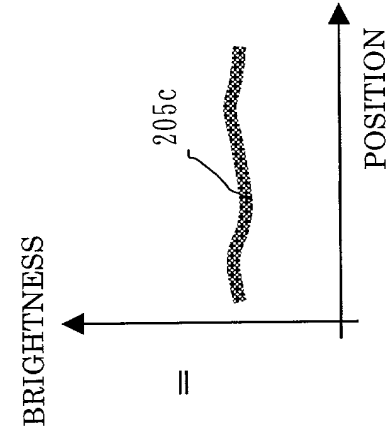
F I G. 25(b)

BACKGROUND IMAGE

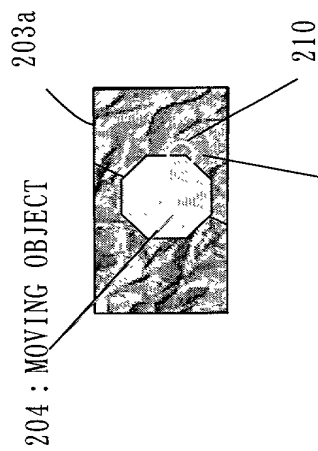


F I G. 25(c)

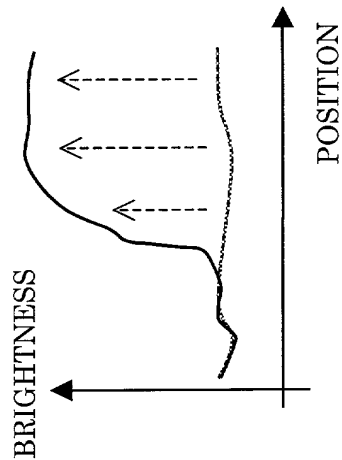
BACKGROUND
DIFFERENCE IMAGE



F I G . 27 (a)

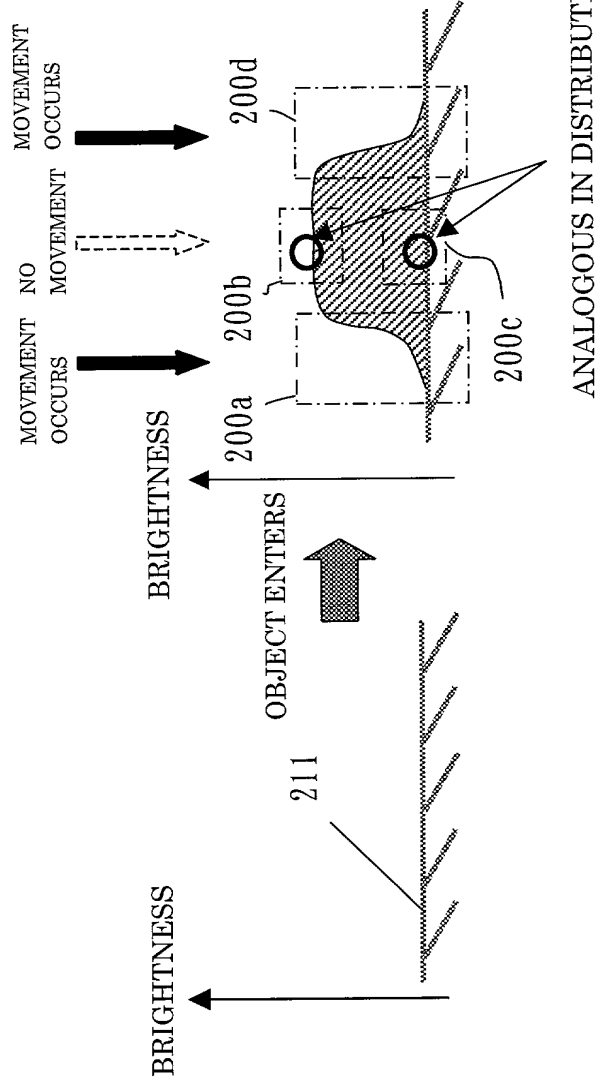


F I G . 27 (b)

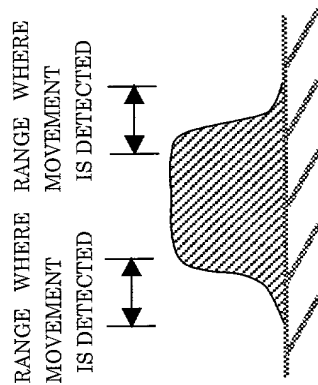


F I G. 28(a)

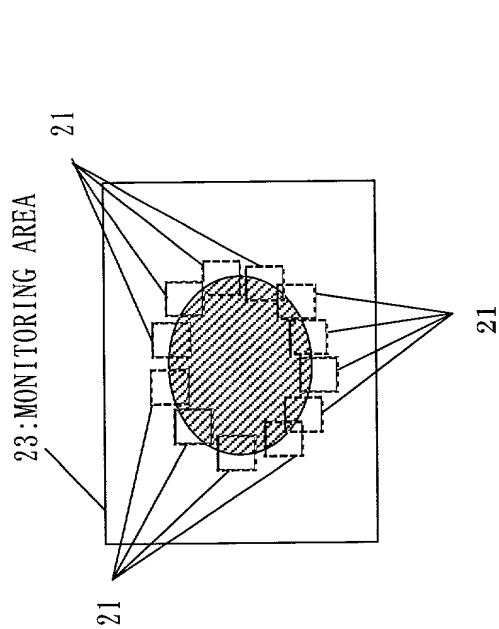
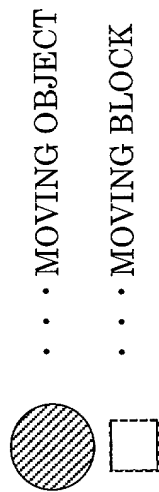
F I G. 28(b)



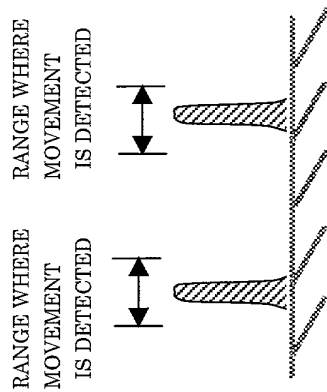
F I G. 29(a)



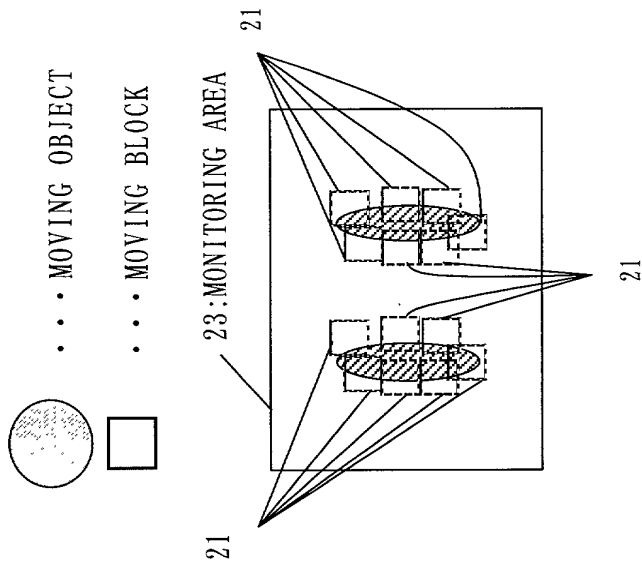
F I G. 29(b)



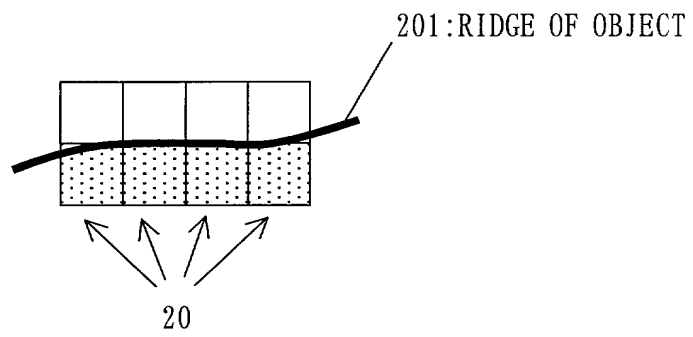
F I G. 30(a)



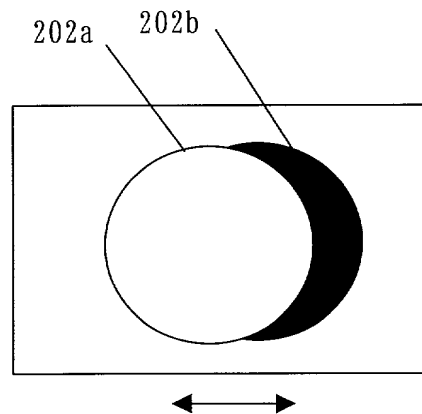
F I G. 30(b)



F I G. 31



F I G. 32



CHANGE DUE TO SWING AND SLIDING OF CAMERA